حساب مستویات الطاقــة للنـوی P_{15}^{30} واـدن ثیــل جهد واـدن ثیــل حســاب مستویات الطاقــة للنـوی واـدن ثیــل

علي خلف حسن و فاطمة حميد عبيد جامعة الكوفة /كلية التربية للبنات /قسم الفيزياء

الخلاصة: ـ

تم حساب مستويات الطاقة النووية لجميع قيم الزخم الزاوي الكلي والتماثل المسموح بها لكل مستوي بتطبيق أنموذج القشرة النووي واستخدام جهد ولدن ثيل للنوى $^{30}_{14}S_{16}^{30}S_{14}^{30}S_{16}^{30}S_{14}^{30}$ التي توصف بأنها تملك نيوكليونين خارج القلب المغلق $^{28}_{14}S_{14}^{30}$ وبعد مقارنة النتائج النظرية المحسوبة مع النتائج العملية المتوفرة حديثاً وجدنا تقاربا مقبولا ً بينهما هذا وقد استخدم برنامج (Matlab-2010) لحساب القيم الذاتية للطاقة للنوى المذكورة أعلاه.

Calculation of Energies Levels for Nuclei ${}^{30}_{14}Si_{16}, {}^{30}_{16}S_{14}, {}^{30}_{15}P_{15}$ By Using Wildenthal Interaction

Ali. K. Hasan and Fatema .H. Obeed Department of Physics, College of Education For Girls University of Kufa

Abstract

All Nuclear Energies Levels of all Allowable Momentum Values and Parity for level have been calculated by Applying Nuclear Shell Model and using Wildenthal Interaction(USD) of Nuclei ${}^{30}_{14}Si_{16},{}^{30}_{16}Si_{14},{}^{30}_{15}P_{15}$ which contain two nucleons outside close core ${}^{28}_{14}Si_{14}$ and occupy the Space Model $(1S_{1/2},0d_{3/2})$ After Comparing the theoretical calculations results with recent available experimental data and found to be rather good agreement a well as Matlab 2010 Program used to calculate the Eigen Value of energies of the nuclei referred to above.

(Introduction) -: المقدمة -:

عدة نماذج نووية كان لجميعها الأثر الكبير في تحديد المسار الذي تم إتباعه في توضيح مسألة التركيب النووي [1] ، ومن بين النماذج الأساسية المقترحة هو: أنموذج القشرة والذي يسمى أيضا أنموذج الجسيمة المستقلة[2] ، إذ إن بعض الدراسات على معدل طاقة الربط وكذلك خواص النوى قادت إلى إن النويات داخل النواة تكون مرتبطة بمدارات شبيه بمدارات الكترونات الذرة وقد سمي بالتركيب القشري أو تركيب المستويات الذي تكون فيه النواة مستقرة [3] ،حيث إن الفرضية الأساس لأنموذج القشرة تتمثل بوجود جهد نووي تتحرك فيه جميع النيوكليونات وان معدل الجهد لجميع النيوكليونات هو الذي يتحكم بحركة أي نيوكليون على انفراد وأن كل نيوكلون يمثل مداراً ذا طاقة وزخم زاوي محددين بشكل دقيق[4]، أن التفاعل بين النيوكليونات الموجودة في المستوى الأرضي أو في مستوى الإثارة الواطئة بحسب أنموذج القشرة يكون تفاعلا ضعيفا جدا ولهذا السبب يسمى أحيانا أنموذج الجسيمة المستقلة[5]، إن أهمية أنموذج القشرة تتجسد بشكل أساس في قدرته على أعطاء تتابع تقريبي صحيح لطاقات المستويات التي يمكن أن توجد فيها النيوكليونات ذات قيم مختلفة من الزخم الزاوى المداري[6].

2- النظرية :-

استخدم أنموذج القشرة النووي بشكل ناجح لوصف طيف المستويات الواطئة للنوى ذات بروتونات ونيوترونات واقعة قرب القشرات المغلقة [7] ، إذ إن القشرة المغلقة تعامل كفراغ بسبب أن النيوكليونات لا تتغير في القشرة المغلقة وعليه فأن الهاملتوني الذي يحكم دينامكية نيوكليونات التكافؤ يتكون من جزأين هما الأول يمثل مجموع طاقات الجسيم المنفرد والثاني هو التفاعل المتبقي بين النيوكلونين ويكتب بالصيغة الآتية[8]:-

$$H = \sum_{i} H_{0} + \sum_{i \langle j} V_{ij}(1)$$

حيث أن $m{H}_0$ تمثل هاملتوني الجسيم المستقل ، $m{V}_{ij}$ يمثل التفاعل المتبقي بين النيوكليونين.

أن طيف النواة المحتوية على قشرات مغلقة مضافاً إليها جسيم منفرد او فجوة منفردة يزودنا بتفاصيل وأدلة كمية عن حركة الجسيم المستقل [9] ، حيث إن أي نيوكيلون لا يبقى في مداره إلى الأبد لان التفاعل بين النيوكليونات يغير من طريقة ملء المدارات نتيجة التشتت (الاستطارة) وان نمط الملء يدعى بالترتيب أو التشكيل المخلوط [10].

وقد استخدمنا في هذا البحث تفاعل أنموذج قشرة sd وهو تفاعل نووي مستقل اشتق حديثاً وحصلوا عليه من البيانات التجريبية ويشار لهذا التفاعل بتفاعل ولدن ثيل (Wildenthal Interaction) أو تفاعل USD أو تفاعل (USD Interaction) وهذا التفاعل الفعال كان ناجحاً جداً في فهم خصائص نوى قشرة sd لمدى العدد الكتلي هو A=(16-40).

إن تفاعل ولدن ثيل حدد بواسطة حساب 63 عنصر مصفوفة لجسميتين الذي حسب في فضاء أنموذج $(0d_{5/2},1S_{1/2},0d_{3/2})$ لعدد كتلي مساوي إلى A=18، ويمكن التعبير عن عناصر المصفوفة للجسميتين باستخدام جهد ولدن ثيل في تمثيل ازدواج (15) وفقا للمعادلة الآتية (15):

$$\left\langle ab; JT \left| V(1,2) \right| cd; JT \right\rangle = \sum_{L,S,L',S'} [(1+\delta_{ab}) \times (1+\delta_{cd})]^{-1/2} \times [(1+\delta_{AB}) \times (1+\delta_{CD})]^{1/2} \times [(1+\delta_{AB}) \times (1+\delta_{CD$$

$$\begin{pmatrix} l_a \frac{1}{2} j_a \\ l_b \frac{1}{2} j_b \\ LSJ' \end{pmatrix} \times \begin{pmatrix} l_c \frac{1}{2} j_c \\ l_d \frac{1}{2} j_d \\ L'S'J' \end{pmatrix} \times \sum_{p} (-1)^{J-J'} \begin{Bmatrix} LSJ \\ S'L'p \end{Bmatrix} \times \begin{Bmatrix} LSJ' \\ S'L'p \end{Bmatrix}^{-1}$$

 $\times \langle AB; LSJ'T | V_p \rangle | CD; L'S'J'JT \rangle \dots (2)$

في معادلة (2) أن الأعداد الكمية (a,b,c,d,J,T) هي في ازدواج (jj) ،حيث ان (a,b,c,d) هي مدارات الجسيمات المفردة ضمن فضاء الأنموذج الموجود (J) هو ازدواج الزخم الزاوي الكلي للجسيمتين .

(T) هو البرم النظيري الكلي للجسيمات الفردية فإذا كان البرم النظيري محفوظ فان عناصر المصغوفة تميز بواسطة (T=0) أو (T=1) وإذا كان البرم النظيري غير محفوظ فان هنالك ثلاثة مجاميع لعناصر المصغوفة لمزج من (T=0) أو (nnnn) أو (pnpn) إذ أن (n,p) تمثل البروتون والنيوترون على التوالي ،والأقواس المربعة الكبيرة هي معاملات تحويل (L.S) إلى (L.S) إلى (L.S).

 V_p أما القوس $\langle AB; LSJ'T|V_p \rangle |CD; L'S'J'JT \rangle$ فيمثل عناصر المصفوفة في ازدواج (L.S) و الاحداثي فيمكن التعبير عنه بالمعادلة الآتية [13]:-

$$V = \sum_{P} V_{p} = \sum_{P} U^{P} \cdot X^{P} ...(3)$$

 V_p هو يمثل تفاعل جسميتين أما المؤثرات U^P, X^P تمثل التنسوريات المختزلة للمرتبة P في إحداثيات الفضاء والبرم على التوالي حيث أن إحداثيات التفاعل هي تخصص بواسطة المرتبة P فإذا كانت P=1 للاحداثي المركزي و P=1 للاحداثي البرم والمدار وإلانتي تناظري للبرم والمدار وان P=1 للاحداثي التنسوري، حيث أن عناصر المصفوفة في ازدواج (L.S) هي مزج خطي من عناصر مصفوفة (j.j). هذا ويتضح من معادلة رقم (2) أن عناصر المصفوفة الناتجة للنواة (P=1) لجسميتين في القشرة P=1 للاحداثي البرم مكتوبة من مزج خطي لحدود 20 أحداثي مركزي و P=1 أحداثي البرم والمدار والمدار والمدار إلانتي تناظري (إحداثيات ALS) والتي حسبت إحصائياً P=1.

إن الفرضيات الأساسية لتفاعل ولدن ثيل تدرج وفقا للنقاط الآتية [13]:-

- 1- أن دوال الموجة تملك برم نظيري جيد.
- 2- قيم عناصر المصفوفة للجسيمتين تحتفظ بمزج خطى محدد.
- 3- أن عناصر المصفوفة للجسيمتين تعتمد على العدد الكتلي A وتعطى وفقاً المعادلة الآتية [12,13,14]:-

$$\langle V \rangle_A = \langle V \rangle_{A=18} \times (A/18)^{-0.3}....(4)$$

 $_{-}$ حيث القوة $_{-}$ $_{-}$ حـدت عمليا و هذا المقياس هو كنتيجة لتغير دالة الموجة القطرية كدالة للعدد الكتلي

A=18 هذا ويتبين من معادلة رقم (4) إن عناصر المصفوفة لقيم أخرى لـ A تنتج بواسطة ضرب عناصر المصفوفة لـ A=18 في المقدار A/18.

إن عناصر المصفوفة تحدد بالاعتماد على عدد النيوكليونات خارج القلب المغلق فلو كان النيوكليونين بنفس الحالة |jjJM
angle فان |jjJM
angle

$$\langle jjJM | H | jjJM \rangle = \varepsilon_j + \varepsilon_j + \langle jJM | V | jJM \rangle_J$$
$$\langle jjJM | H | jjJM \rangle = 2\varepsilon_j + \langle jj | V | jj \rangle_J \dots \dots \dots (5)$$

فمعادلة (6) يمكن من خلالها حساب مستويات الطاقة للترتيب النقي فقط،إما المعادلتين (6) و (7) معاً فتحسب من خــلالهما مستويات الطاقة للترتيب المختلط.

أما تحديد حالات الزخم الزاوي الكلي المسموحة للنواة فهي تعتمد على [15]:-

في مدار الجسيمة المفردة نفسه أي أن $j_1=j_2$ أن $j_1=j_2$ هي أنصاف أعداد صحيحة) فانه يمكن از دواج برميهما إلى قيم زوجية من $j_1=j_2$ أي أن $j_1=j_2$

$$J = 0,2,4,....(2j-1)$$
(8)

• جسيمة في الحالة j_1 والأخرى في الحالة j_2 حيث أن $j_2 \neq j_3$ فان قيم الزخم الزاوي الكلي تأخذ القيم الآتية :-

$$J = j_1 + j_2, j_1 + j_2 - 1, \dots, |j_1 - j_2|$$
(9)

(Calculations and Results) يتطلب أجراء حسابات والنتائج القشرة لمستويات الطاقة معرفة بالمنطقة التي تجري فيها الحسابات التي تمثل يتطلب أجراء حسابات أنموذج القشرة لمستويات الطاقة معرفة بالمنطقة التي تجري فيها الحسابات التي تمثل قسشر التكافؤ و التفاعل المناسب لها، واستندت الدراسة في هذا البحث على ثلاث نوى هي $^{30}_{14}Si_{16}^{20}S_{14}^{30}S_{16}^{20}S_{14}^{30}$ هي $^{30}_{15}S_{14}^{30}S_{16}^{30}S_{14}^{30}S_{16}^{30}S_{14}^{30}$ هي المحافئة لهذه النوى هو $^{30}_{14}Si_{16}^{30}S_{14}^{30}$ مع اعتبار القلب المغلق $^{30}_{14}Si_{14}^{30}$ فنواتي السيليكون $^{30}_{14}Si_{16}^{30}S_{14}^{30}$ (Sulfur Nucleus) الزوجية النيوكليونات تحتويان على نيوترونين و بروتونين خارج القلب المغلق على التوالي أما نواة الفسفور $^{30}_{14}S_{14}^{30}S_{14}^{$

ان طاقات الجسيمات المفردة نسبة للقلب المغلق للنوى أعلاه ضمن فضاء الأنموذج $(1S_{1/2},0d_{3/2})$ هي للنيوترون $\mathcal{E}_{1S_{1/2}}(n)=-8.474 MeV$ و $\mathcal{E}_{1S_{1/2}}(n)=-8.474 MeV$ و $\mathcal{E}_{1S_{1/2}}(p)=-0.853 MeV$ و $\mathcal{E}_{1S_{1/2}}(p)=-2.236 MeV$ أن قيم الزخم الزاوي الكلى المسموحة والتماثل لنواتي السيلكون S_{i}^{30} والكبريت S_{i}^{30} تكون على النحو الأتــي :-

$$J^{\pi} = 0^+, 1^+, 2^+$$

إما قيم الزخم الزاوي الكلى والتماثل لنواة الفسفور P^{30} فهي :-

$$J^{\pi} = 0^+, 1^+, 2^+, 3^+$$

وبالاعتماد على قيم طاقات الجسيمة المفردة للنيوترون والبروتون ضمن فضاء الأنموذج $(1S_{1/2},0d_{3/2})$ للنوى المستخدمة في الدراسة وكذلك قيم عناصر المصفوفة باستخدام جهد ولدن ثيل والمحسوبة طبقا للمعادلة (4) وتطبيقهما في المعادلات (6) و (7) نحصل على قيم مستويات الطاقة من خلال حساب القيم الذاتية للطاقة باستخدام برنامج Matlab ، ثم نأخذ قيم مستويات الطاقة نسبةً للحالة الأرضية والتي تـم مقارنتها مع القيم التجريبية المتوفرة (5) والموضحة بالأشكال (1) و(2) و(3) للنوى أعلاه على التوالي.

 ^{30}Si المقارنة بين القيم النظرية لمستويات الطاقة نسبة للحالة الأرضية لنواة باستخدام جهد ولدن ثيل مع القيم العملية المتوفرة [19,20] وتبعاً لقيم الزخم الزاوي الكلي والتماثل.

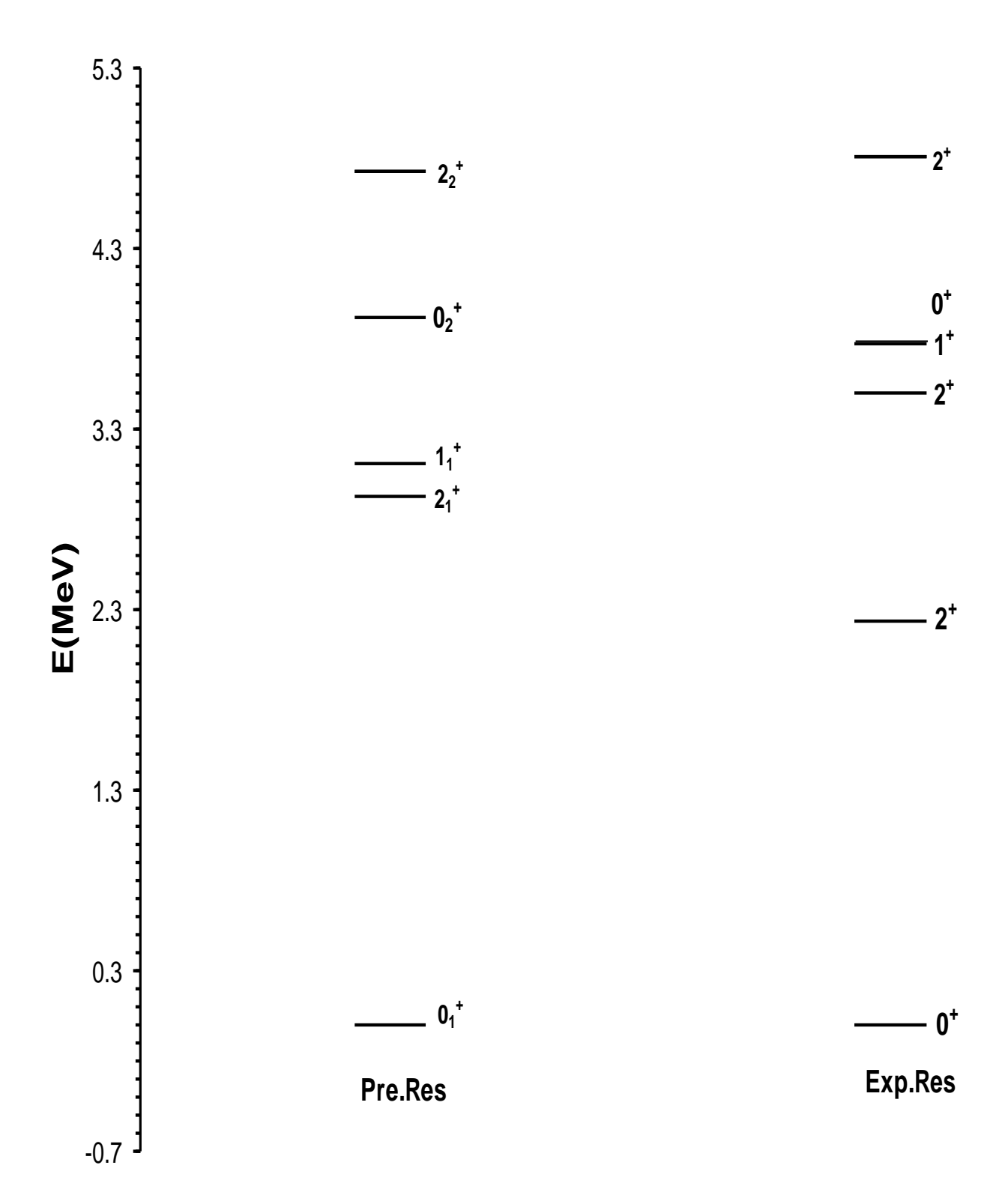
Pre .Res.		\mathbf{E}_{exp}	
J^{π}	E(MeV)	J^{π}	E(MeV)
01+	0	0+	0
21+	2.93	1	_
11+	3.921	1 ⁺	3.769
02+	3.105	_	_
22+	4.73	2+	4.81

جدول (2): المقارنة بين القيم النظرية لمستويات الطاقة نسبة للحالة الأرضية لنواة S^{0} باستخدام جهد ولدن ثيل مع القيم العملية المتوفرة [19,20] وتبعاً لقيم الزخم الزاوي الكلي والتماثل.

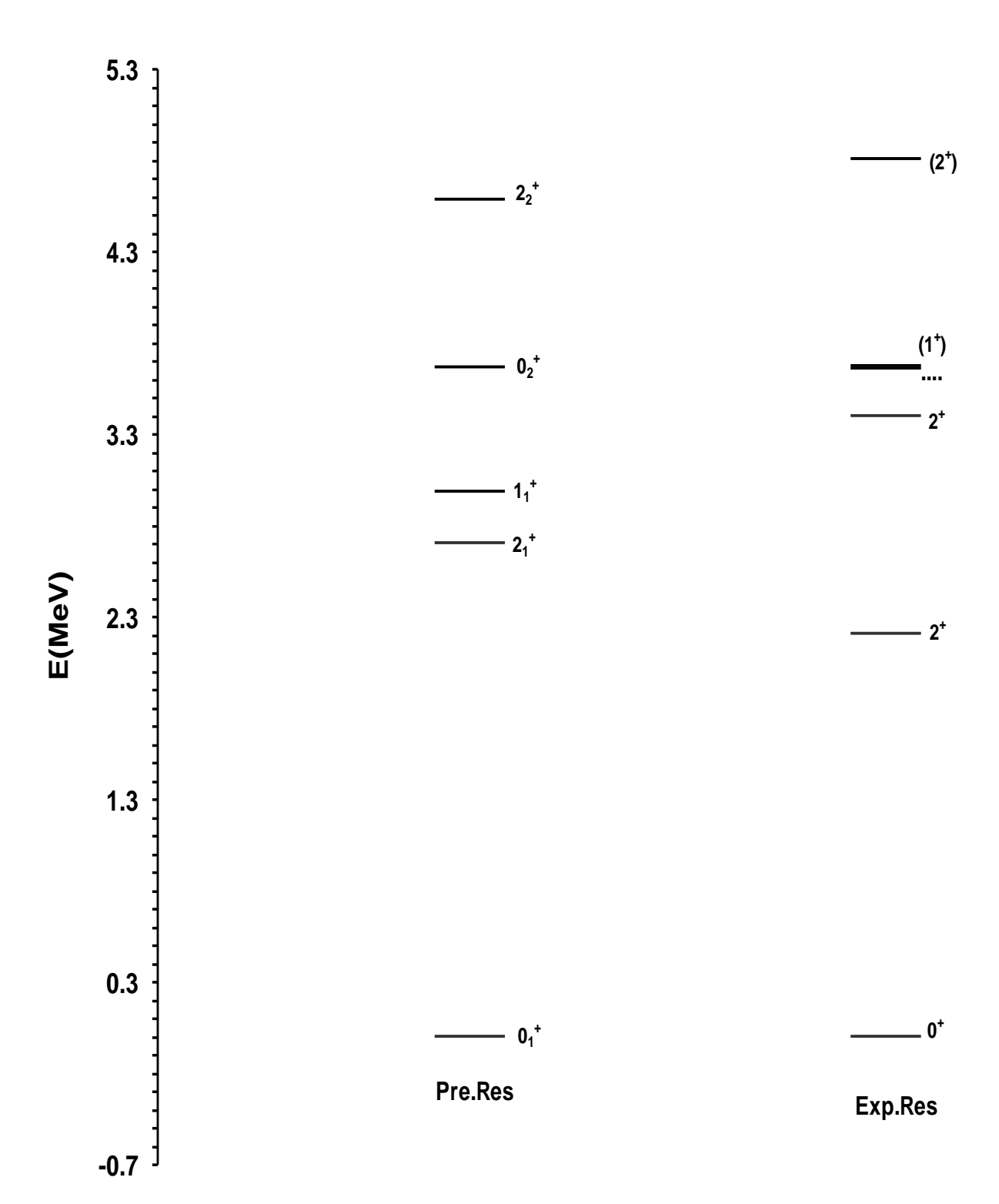
Pre .Res.		$\mathbf{E}_{\mathbf{exp}}$	
J^{π}	E(MeV)	J^{π}	E(MeV)
01+	0	0+	0
21+	2.71	_	_
11+	2.99	_	_
02+	3.671	(1 ⁺)	3.676
22+	4.59	(2 ⁺)	4.814

جدول (3): المقارنة بين القيم النظرية لمستويات الطاقة نسبة للحالة الأرضية لنواة P^{30} باستخدام جهد ولدن ثيل مع القيم العملية المتوفرة [19,20] وتبعاً لقيم الزخم الزاوي الكلي والتماثل.

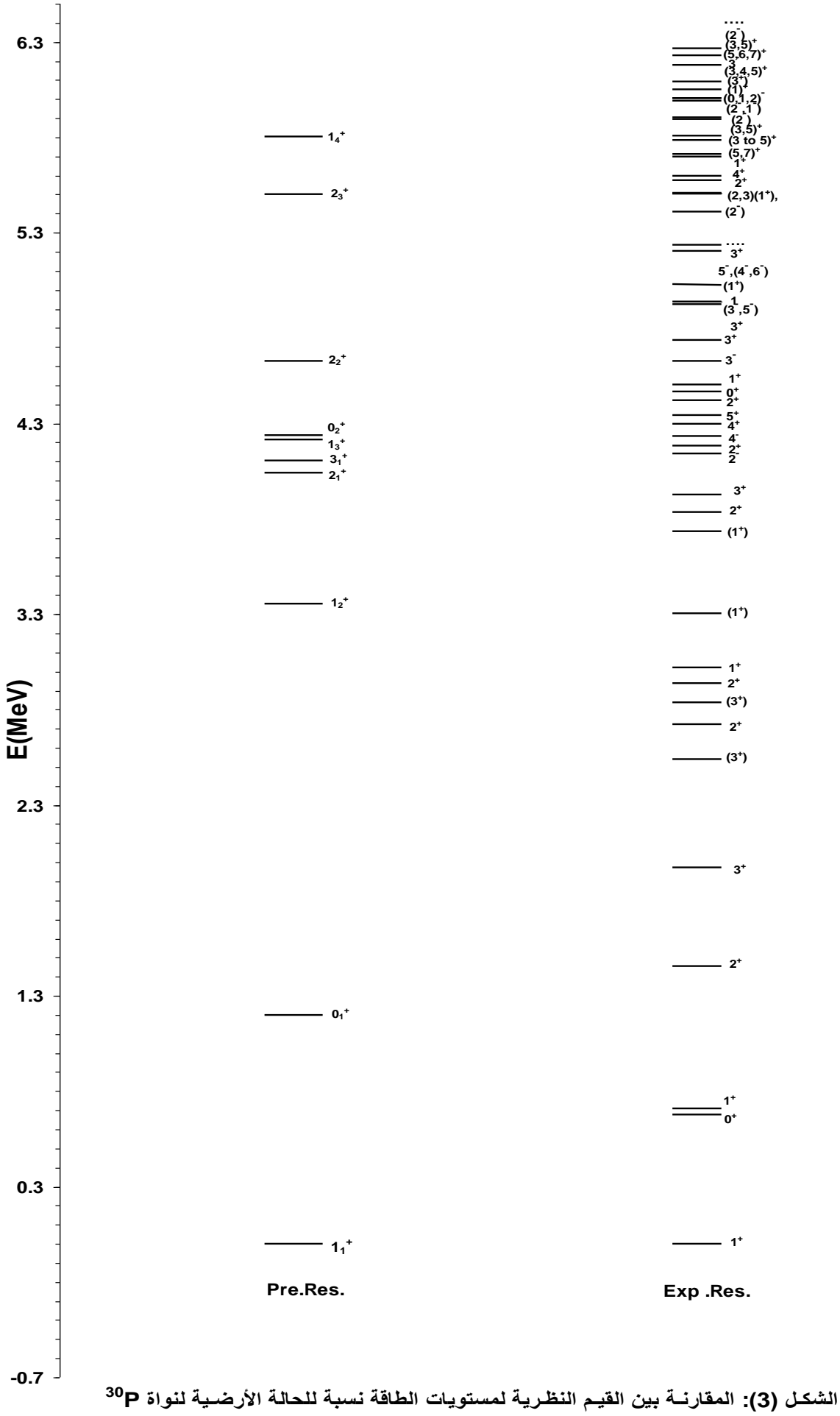
Pre .Res.			$\mathbf{E}_{ ext{exp}}$	
J^{π}	E(MeV)	J^{π}	E(MeV)	
11+	0	1+	0	
01+	1.201	0+	0.677	
12+	3.354	(1 ⁺)	3.304	
21+	4.043	2 ⁺	4.182	
31+	4.106		_	
13+	4.217	1+	4.502	
0 ₂ ⁺	4.24	_	_	
22+	4.63	_	4.951	
23+	5.501	(2 ⁺)	5.508	
14+	5.803	1+	5.701	



الشكل: (1) مقارنة بين القيم النظرية لمستويات الطاقة نسبة للحالة الأرضية لنواة أ\$ 30 الشكل: باستخدام جهد ولدن ثيل مع القيم العملية المتوفرة [19,20] وتبعاً لقيم الزخم الزاوي الكلي والتماثل



الشكل: (2) مقارنة بين القيم النظرية لمستويات الطاقة نسبة للحالة الأرضية لنواة \$^30 باستخدام جهد ولدن ثيل امع القيم لعملية المتوفرة [19,20] وتبعاً لقيم الزخم الزاوي الكلي والتماثل



الشكل (3): المقارنة بين القيم النظرية لمستويات الطاقة نسبة للحالة الأرضية لنواة ³⁰P باستخدام جهد ولدن ثيل مع القيم العملية المتوفرة [19,20] تبعاً لقيم الزخم الزاوي الكلي والتماثل

4-المناقشة والاستنتاجات

(Discussion and Conclusions)

(3) ر(2) ر(1) من دراسة مستويات الطاقة للنوى $^{30}_{14}Si_{16},^{30}_{16}Si_{14},^{30}_{15}P_{15}$ والمدرجة في الجداول (1), (2), (2), والموصوفة بالأشكال (1), (2), (3) على التوالي للنوى المذكورة أعلاه والتي أجريت حساباتها في فضاء الأنموذج (1 $S_{1/2},0d_{3/2}$) بتطبيق أنموذج القشرة النووي واستخدام جهد ولدن ثيل يتضح ما يلي:-

1- وجد تطابق معقول لعدد من قيم مستويات الطاقة المحسوبة للنوى المدروسة مع القيم العملية مثلا قيم مستويات الطاقة النظرية MeV [4.81 , 3.769] MeV التي تقابلها القيم العملية [4.73 , 3.921] MeV على التوالي و التي تكون بنفس قيم الزخم الزاوي الكلي والتماثل $\left\{ \begin{array}{c} 2_{2}^{+}, 1_{1}^{+} \\ 2_{2}^{+}, 1_{1}^{+} \end{array} \right\}$ هذا بالنسبة للنواة 30 Si ، أما مستويات الطاقعة MeV والتماثل $\left\{ \begin{array}{c} 1_{4}^{+}, 1_{3}^{+}, 2_{1}^{+} \\ 1_{4}^{+}, 1_{3}^{+}, 2_{1}^{+} \end{array} \right\}$ الطاقعة قورنت بالقيم العملية MeV [5.803, 4.217, 4.043] المتمثلة بالـزخـوم الزاويـة الكلية والتماثل التي قورنـت بالقيم العملية النواة 30 P على التوالي بالنسبـة لنـواة 30 P على التوالي بالنسبـة لنـواة 30 P على التوالي بالنسبـة لنـواة 30 P .

2- توقع تحديد قيم الزخم الزاوي الكلي والتماثل لبعض مستويات الطاقة العملية فلنواة 30 S فأن مستوي الطاقة العملي 1- الغير مؤكد الغيم الزخم الزاوي الكلي والتماثل $^{+}$ 1 الغير مؤكد العملي $^{+}$ 2 فان مستوي الطاقة العملي [4.951MeV] والغير محدد الزخم الزاوي عملياً فحدد بزخم زاوي كلي وتماثل $^{+}$ 2.

 30 S فان الخير بعض قيم الزخم الزاوي الكلي والتماثل لمستويات الطاقة العملية المتوفرة الغير مؤكدة عملياً فلنواة 30 S فان مستوي الطاقة العملي MeV [4.814] أكد بالزخم الزاوي الكلي والتماثل 4 2, ولنواة 30 P في القوالي الطاقية العملية 30 P على التوالي.

 30 Si قيم مستويات الطاقات النظرية المحسوبة والتي لم تقابلها أي قيمة من القيم العملية المتوفرة فلنواة 30 Si فوجدت وجد المستويين MeV [3.105 , 2.93] بزخم زاوي كلي وتماثل هو 4 1 الما في نواة 30 Si فوجدت الطاقتين MeV الطاقتين MeV بزخم زاوي كلي وتماثل هو 4 الما النسبة لنواة 30 P فلقد وجدت قيم الطاقات MeV المحدد المحدد الوي كلي وتماثل هو 4 وتماثل هو 4 على النوالي .

5- تأكد بأن تطبيق أنموذج القشرة النووي باستخدام جهد ولدن ثيل هو أنموذج ناجح للحصول على مستويات الطاقة للنوى المختارة في البحث .

(References) 5- المصادر

- [1]: A. Klimkiewicz et al., (2007), Phys. Rev. C 76.
- [2]: K.S.Krane, (1988), ntroductory Nuclear Physics, John Wiley & Sons, Nework, Inc. P. 116.
- [3]: Amose de-Shalit and Feshbach, (1974), Theoretical Nuclear Physics, John Wiley & Sons, Inc. P. 277.
- [4]: A. Andery, (2005), Nuclear Structure in the Region of The Doubly –Magic ¹⁰⁰Sn, Ph.D.Thesis ,Sofia University .P.2.
- [5]: John lilly, (2001), Nuclear Physics , Physics Principles and Applications", John Wiley & Sons, Ltd, P.46.
- [6]:B.Provh, K.Rith, C.Scholz and F. Zetsche, (2006), Particle and Nuclei, An Introduction to the Physical Concepts, Springer-Verlag Berlin Heidelberg. P.256.
- [7]: B.M.Preedom, and B.H.Wildenthal ,(1972), Phys .Rev C, Vol. 6, No 5, P. 1633.
- [8]: T. Otsuka, (2009), Shell Structure of Exotic Nuclei. Lect. Notes Phys, Springer Lecture Notes in Physics, Vo.25, No.764.P.P.23-24.
- [9]: A.Bohr, and B.R.Mottelson,(1988), Nuclear Structure, World Scientific Publishing Ltd, P.310.
- [10]: P.J. Brussaard and P.W.M. Glaudemans ,(1977),Shell Model Application In Nuclear Spectroscopy, North Holl and Publishing Company.P.52.
- [11]: K. S. Jassim,(2011), International Journal of Science and Technology, Vol. 1,No.3, ISSN 2224-3577,P.140.
- [12]: B.H.Wildenthal, (1988), Prag. Part. Nucl. Phys. No. 6. P. P. 87-88
- [13]: B.A. Brown, W.A. Richter, R.E. Julies and B. H. Wildenthal, (1988), Semi-empirical effective interaction for the (1s-0d) ,Annals of Physics ,Vol.182, P.P.191-236.
- [14]: B.A. Brown (2001), Progress in Particle and Nuclear Physics, Vol.47, No.517, P.P.22-23.
- [15]: R.D Lawson, (1980), Theory of the Nuclear Shell Model, Clarendon Press, Oxford, P.P.30-31
- [16]: A.K. Hasan and F.H. Obeed, (2011), J. Kerbala University, Vol. 9, No. 3, P. 229.
- [17]: A. K. Hasan, (2009), J. Kufa. Phys. Vol. 1, No. 1, P.P. 11-14.
- [18]: A. Alex Brown, (2005), Lecture Notes in Nuclear Structure Physics, P.P. 206-208.
- [19] M-B.Firestone and C.M.Baglin, (1999), Table of Isotopes, John Wiley & Sons, New York.
- [20]: M.S. Basunia, (2010)., Nuclear Data Sheet, Vol. 111, No. 2331.